УДК 550.89

ПЕТРОГРАФИЯ

Г. Т. ОСТАПЕНКО, Ю. И. ГОНЧАРОВ, И. П. ХАДЖИ, В. С. КОВАЛЕНКО

## ЭКСПЕРИМЕНТАЛЬНОЕ МОДЕЛИРОВАНИЕ ПРОЦЕССА МИНЕРАЛООБРАЗОВАНИЯ В УСЛОВИЯХ ПЛАСТИЧЕСКОГО ТЕЧЕНИЯ ПРИ НЕГИДРОСТАТИЧЕСКОМ НАПРЯЖЕНИИ

(Представлено академиком Д. С. Коржинским 20 І 1972)

Многочисленные геофизические, петрологические и тектонические данные свидетельствуют о том, что в земной коре, особенно в се активных зонах, состояния негидростатического напряжения с сопутствующими им деформациями представляют собою скорее, обычное явление, чем исключение (¹,²). Поэтому всестороннее исследование, в том числе при помощи экспериментального моделирования, процесса возникновения минералов и их превращения в условиях негидростатики является актуальной задачей. Особый интерес эти работы представляют в связи с проблемой ориснтировки минералов в поле напряжения, термодинамическая разработка которой до настоящего времени содержит ряд дискуссионных положений (³-¹), а имеющиеся экспериментальные результаты (³-¹) хотя и очень важны, однако немногочисленны и касаются вопроса ориентировки, по сути, кальнита и в меньшей мере кварпа.

В проводившихся нами опытах состояние негидростатического напряжения (сжатия) осуществлялось простым способом Адамса — Никольсона ( $^{11}$ ). Спрессованные таблетки весом 20 г из смеси MgO, MgF<sub>2</sub>, NaF и аморфного кремнезема \*, отвечающей по составу фторрихтериту (Na<sub>2</sub>Mg<sub>6</sub>[Si<sub>8</sub>O<sub>22</sub>]·F<sub>2</sub>), помещали в тонкостенный цилиндр из нержавеющей стали (внутренний диаметр 24, наружный 30 мм), сжимали на прессо поршнями из стали ЭИ-437Б до заданной величины «осевого» давления ( $P_1$ ), за 2—3 часа нагревали до заданной температуры (T) и выдерживали при T и  $P_1$  от 16 до 47 час. В процессе опыта происходило расплющивание таблетки, она пластически «текла» в направлении к боковым степкам цилиндра, вызывая их раздув. Боковое давление  $P_2$ , оказываемое стенкой камеры на таблетку, может быть оценено, если известен предел прочиости на растяжение стали при данной температуре ( $^{11}$ ). Характеристика и параметры опытов приведены в табл. 1.

Таблетки в процессе опытов сильно уплотнялись, приобретая сланцеватую текстуру перпендикулярно  $P_1$ . В шлифах из полученных образцов (рис. 1) наблюдается тонкое чередование линз микрогранобластового кварца и тонкодисперсного материала. Полосчатость перпендикулярна осевому давлению и создает видимую сланцеватость. В выдавленной части таблетки прожилки и линзочки закручиваются, образуя завихрения. Рентгенодифракционным анализом (ДРОН-1, СиК-излучение, Ni-фильтр) в образдах обнаружены следующие минеральные фазы: 1) кварц, диагносцируемый по паре интенсивных отражений с межплоскостным расстоянием 3,36 и 4,25 Å; 2) амфибол,— по характерному для него межплоскостному расстоянию 8,4 Å (110); 3) фтортальк с межпакетным расстоянием 9,06 Å;

<sup>\*</sup> Использование реакционных смесей вместо минералов (отличительная особенность данных опытов) позволяет проследить процесс формирования фаз в условиях негидростатики от состояния зародышей до достаточно крупных кристаллов.

| №<br>опыта | T, °C | $P_1$ , кг $_{_1}$ СМ $^2$ | P₂*, кг см² | Продол-<br>житель-<br>ность вы-<br>держки,<br>час. | Высота таб | блетки, мм<br>конечн. | Продолжит.<br>интенсивн.<br>усадки, час. | Ориентировка<br>удлин. крис-<br>таллов |
|------------|-------|----------------------------|-------------|--|------------|-----------------------|--|--|
| 1          | 750   | 2000                       | 640         | 42   | 27,20      | 4                     | 11                                       | Есть                                   |
| 2          | 700   | 2000                       | 780         | 16   | 26,25      | 8,25                  | 11                                       | Нет                                    |
| 3          | 700   | 3000                       | 780         | 37   | 27,25      | 2,75                  | 12                                       | Есть                                   |
| 4          | 600   | 1200                       | 950         | 47   | 27,25      | 6,75                  | 10                                       | Нет                                    |

<sup>\*</sup>  $P_2=\frac{2}{3}$   $\sigma_p$   $\ln$  ( $\beta/a$ ), где  $\sigma_p$  — предел прочности на разрыв при соответствующей температуре (11);  $\sigma$ ,  $\sigma$  — наружный и внутренний диаметры дилиндра; при 600; 700 и 750°  $\delta_p$  равно 800; 3100 и 2500 кг/см³ соответственно.

для фторталька характерен ряд базальных отражений, соответствующих 002 (4,51 Å), 003 (3,10 Å), 004 (2,26 Å) и отражение 060 — 1,514 Å; 4) силикат состава  $\mathrm{Na_2Mg_4[Si_6O_{16}]}$  (F, O)<sub>2</sub>, встречающийся в виде волокон \*. О присутствии этой фазы свидетельствует отражение 9,6 Å (110).

Наиболее полно твердофазовые реакции прошли в опытах №№ 1 и 3. Образцы из этих опытов очень сильно уплотнены и рассланцованы, легко раскалываются на пластинки в плоскости, перпендикулярной осевому

давлению. Для них характерно высокое содержание фторталька.

Ценную информацию о деталях структуры и текстуры, об ориентировке резко анизотропных минералов (амфибол, фтортальк) дает электронномикроскопическое изучение реплик со свежих сколов различных участков таблетки \*\*. Под электронным микроскопом минеральные фазы наблюдаются в виде чередующихся прожилков и линз, располагающихся нормально к осевому давлению, например: линза кварца, прожилок амфибола, прожилок фторталька. Из этого следует, что кристаллы тех или иных минеральных фаз возникают в виде изотермических очагов, которые в условиях бокового течения расплющиваются и разлинзовываются, давая типичную тонкополосчатую текстуру. Наряду с твердофазовыми реакциями, ведущими к образованию фторамфибола и слоистых силикатов, идут процессы раскристаллизации с образованием микрогранобластового кварца (при таких же температурах, но давлении, близком к атмосферному, кварц не образуется). Внутри полосок и линз в опытах №№ 1 и 3 наблюдается преимущественная ориентировка нормально к  $P_1$  волокнистых (игольчатых) и призматических кристаллов. Беспорядочная ориентировка, встречающаяся на отдельных участках, частично обусловлена многочисленными пережимами, микрофлексурами, а также, по-видимому, микронеровностями поверхности, с которой была снята реплика. С определенной долей вероятности можно говорить и о преимущественной ориентировке пластинчатых кристаллов нормально к осевому давлению. Например, были получены снимки (рис. 16), на которых хорошо выраженные шестигранные пластинки фторталька ориентированы базальной плоскостью 001 нормально к осевому давлению.

В опыте № 2, продолжительностью всего 16 час., который можно рассматривать как начальную стадию опытов №№ 1 и 3, линейная ориентировка волокнистых, призматических и пластинчатых кристаллов не наблюдается \*\*\*. А так как период интенсивной усадки во всех опытах примерно одинаков и составляет 10—12 час., то можно предполагать, что само по себе пластическое течение, идущее наиболее интенсивно в первой стадии опытов, не является по крайней мере главной причиной возникновения

<sup>\*</sup> Этот силикат, как было установлено специальным исследованием, является промежуточной фазой при образовании фторамфибола (16).

<sup>\*\*</sup> Исследования проводились на микроскопе GEM-6A. \*\*\* Отсутствие ориентировки в опыте № 4 связано, очевидно, с малыми величинами  $P_1 - P_2$  и T.

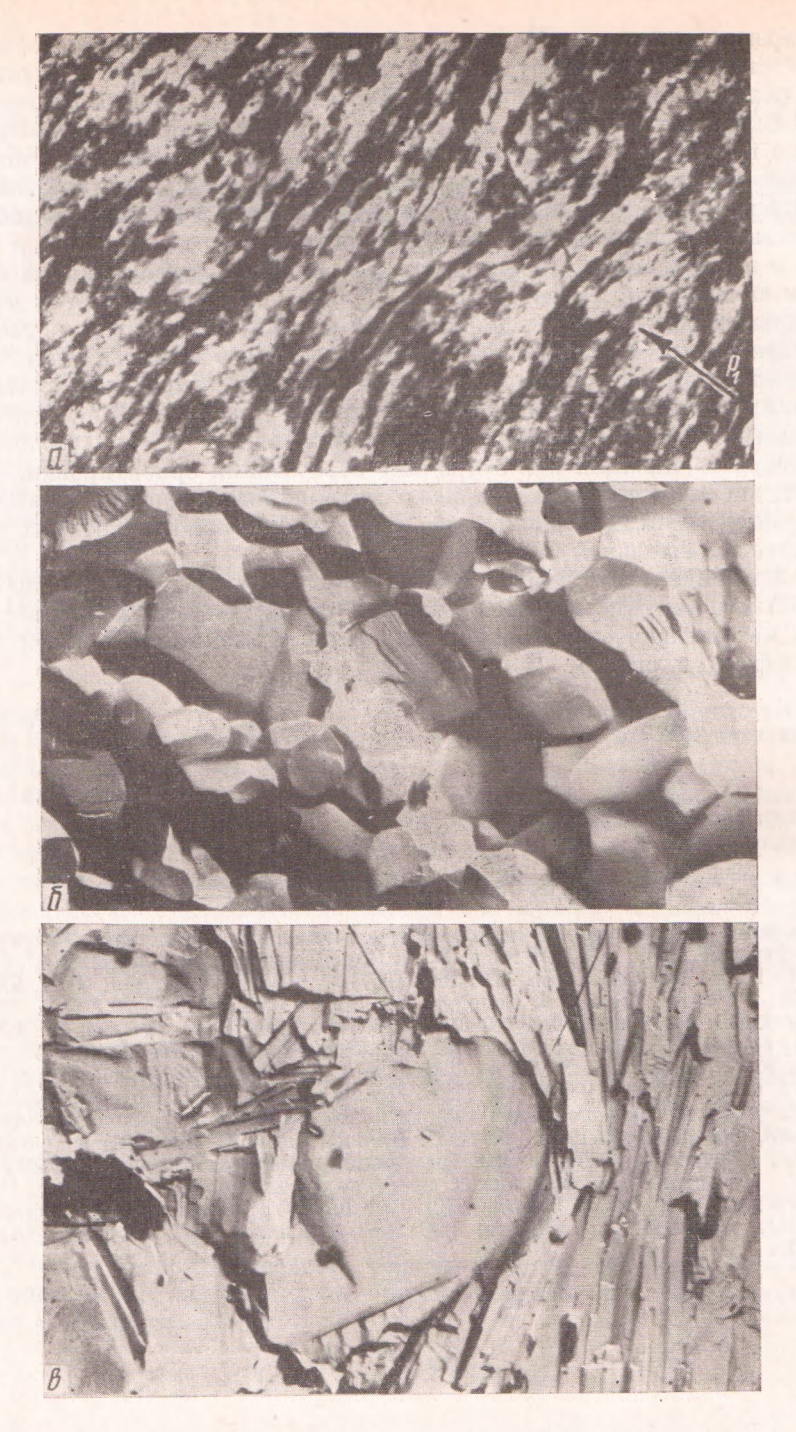


Рис. 1. a — шлиф центральной части таблетки, сечение параллельно осевому давлению,  $150\times$ : белое — кварц, серое — остальные минералы, интенсивное рассланцевание;  $\delta$ ,  $\epsilon$  — образец под электропным микроскопом:  $\delta$  — сечение перпендикулярно осевому давлению; кристаллы фторталька,  $30\,000\times$ ,  $\epsilon$  — сечение параллельно осевому давлению, порфиробласт кварца, «обтекаемый» кристаллами фторамфибола,  $27\,700\times$ 

ориентировки минералов. Последняя возникает уже на второй, заключительной стадии эксперимента, когда скорость пластического течения довольно резко замедляется. Возможно, что движущей силой этого процесса является рекристаллизация: кристаллы, ориентированные преимущественно по илоскостям сланцеватости, растут за счет кристаллов, ориентированных дормально к ней. В соответствии с теорией (4) это возможно, так как в резко анизотронных кристаллах амфибола и слюды сжимаемость максимальна в направлении, перпендикулярном к лентам и слоям, и минимальна в направлениях, параллельных им (12, 13), а эффект данной ориентировки вызывается, в соответствии с (4), тем, что химический потенциал на поверхности (14) с максимальным сжимающим напряжением увеличивается при сжатии от накопления упругой энергии в меньшей степени, чем уменьшается за счет сокращения объема (заметим, что при фазовых превращениях в условиях негидростатики следует учитывать сечения как с максимальным, так и минимальным напряжениями (15)). Предположение о рекристаллизации как о причине образования ориентировки, не исключает, конечно, действия и других механизмов, например трансляционного скольжения, вращения зерен и др., эффективность которых может быть более значительной (2).

В заключение необходимо отметить, что полученные образцы по своим текстурным и структурным особенностям очень напоминают образцы типичных метаморфических пород с характерным взаимоотношением минеральных фаз (см. рис. 1).

Институт геохимии и физики минералов Академии наук УССР Киев Поступило-14 I 1972

Всесоюзный паучно-исследовательский институт синтеза минерального сырья г. Александров

## ЦИТИРОВАННАЯ ЛИТЕРАТУРА

<sup>1</sup> Давление и механические напряжения в развитии состава, структуры и рельефа литосферы, Л., 1969. <sup>2</sup> Д. Финн, В кн. Природа метаморфизма, М., 1967, стр. 49. <sup>3</sup> G. J. McDonald, Am. J. Sci., 255, 266 (1957). <sup>4</sup> W. B. Kamb, J. Geol., 67, № 2, 153 (1959). <sup>5</sup> W. B. Kamb, J. Geophys. Res., 66, № 1, 259 (1961). <sup>6</sup> G. F. McDonald, Geol. Soc. Am. Mem., 79, 1 (1960). <sup>7</sup> Y. Ida, J. Geophys. Res., 74, № 12 (1969). <sup>8</sup> D. I. Griggs, M. S. Paterson et al., Geol. Soc. Am. Mem., 79, 21 (1960). <sup>9</sup> D. I. Griggs, F. J. Turner, H. S. Heard, Geol. Soc. Am. Mem., 79, 39 (1960). <sup>10</sup> H. C. Heard, J. Geol., 71, 162 (1963). <sup>11</sup> И. В. Лучицкий, В.И.Громин, Г.Д.У шаков, Эксперименты по деформации горных пород в обстановке высоких температури давлений, Новосибирск, 1967. <sup>12</sup> В. П. Беликов, К. С. Александров, Т. В. Рыжова, Упругие свойства породообразующих минералов и горных пород, «Наука», 1970. <sup>13</sup> Справочник физических констант горных пород, М., 1969. <sup>14</sup> Г. Т. Остапенко, Геохимия, № 5, 875 (1970). <sup>15</sup> Г. Т. Остапенко, Геохимия, № 10, 1244 (1971). <sup>16</sup> Ю. И. Гончаров, В. С. Коваленко, И. П. Хаджи, ДАН, 205, № 4 (1972).